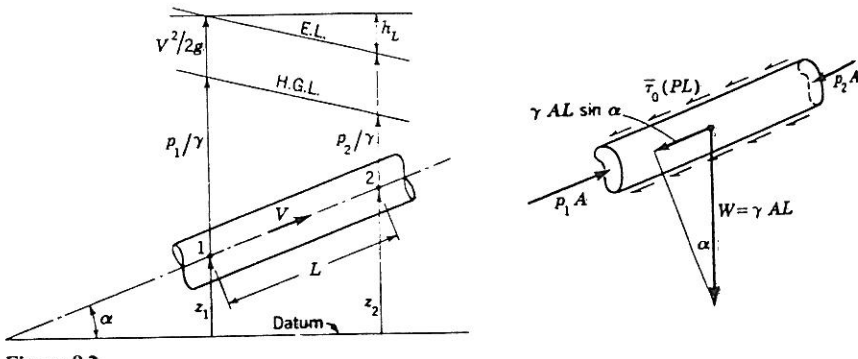


### 3.4 GENERELL LIKNING FOR RØRFRIKSJON

Vi ser på en stasjonær strømsituasjon som på figuren, og ønsker å finne  $h_L$ .



Men utledningen vil være helt analog til den i avsnitt 5.3 for tøpsleddet i Bernoullis likning, hvor vi betraktet et "strømmer" omkring strømlinjen

$$h_f = \frac{2 \bar{\tau}_0 L}{g \rho R}$$

$\bar{\tau}_0 \rightarrow \bar{\tau}_0$ , gjennomsiktig  
tøyspenning

Gva av  $\bar{\tau}_0$ ? Bruk dimensjonsanalyse!

Anta sammenhengen

$$\bar{\tau}_0 = f(g, \mu, V, R_h)$$

TT-teorem, med  $g, R_h, V$  som primære variable, gir:

$$T_1 = \mu g^{a_1} R_h^{b_1} V^{c_1}$$

$$T_2 = \bar{\tau}_0 g^{a_2} R_h^{b_2} V^{c_2}$$

Bruk MLT-systemet og dimensjonene

$$\mu = \left[ \frac{M}{L T} \right]$$

$$R_h = [L]$$

$$\bar{\tau}_0 = \left[ \frac{M}{L T^2} \right]$$

$$V = \left[ \frac{L}{T} \right]$$

$$g = \left[ \frac{M}{L^3} \right]$$

$$\left. \begin{array}{l} \text{(M)} 0 = 1 + a_1 \\ \text{(L)} 0 = -1 - 3a_1 + b_1 + c_1 \\ \text{(T)} 0 = -1 - c_1 \end{array} \right\} \quad a_1 = b_1 = c_1 = -1$$

som gir

$$\Pi_1 = \frac{\mu}{g R_h V} = (\text{Re})^{-1}$$

Ved tilsvarende regning av potensbalansering for  $\Pi_2$ :

$$\Pi_2 = \frac{\bar{x}_0}{g V^2}$$

etter  $\Pi$ -teoremet:  $\Pi_2 = \phi(\Pi_1^{-1})$

$$\Rightarrow \bar{x}_0 = g V^2 \phi(\text{Re})$$

Med notasjonen  $\phi(\text{Re}) = \frac{1}{2} C_f$  får  $\bar{x}_0 = C_f g \frac{V^2}{2}$ ,  
slik at

$$h_f = C_f \frac{L}{R_h} \frac{V^2}{2g}$$

Vi skal komme tilbake til at dette uttrykket gjelder også for en  $\text{Re}$ .

(Merk:  
Med hensyn til sluttresultatet vi skal finne i neste avsnitt hadde det ikke vært nødvendig å innføre  $R_h$  her. Man kunne brukt  $D$  istedet.  
Men av "historiske grunner" sier vi hensyn til berekning  
notasjon, slik vi finner den innen  $R_h$ , selv om vi i neste avsnitt skal mye  $D$  igjen.)

Eksplisitt for  $\bar{x}_0$ :

$$\bar{x}_0 = \frac{1}{P} \int_0^P \bar{x}_0 dP$$



Arealet A

P (lengde av "juktet periferi")

## 8.5 FRIKSJON I RØR MED SIRKULÆRT TVERRSNITT

Med innsætting av  $R_h = \frac{1}{4}D$  samt

$$f = 4C_f = 8\phi(Re)$$

fas

$$h_f = f \frac{L}{D} \frac{V^2}{2g}$$

Darcy - Weisbachs  
likning

$f$  er en dimensjonsløs funksjon av Reynolds-tallet.  
Tapshøyden i et rør kan derfor utregnes ved  
hastighetshøyden, såfremt  $f$  er en langsomt  
varierende funksjon.

ADVARSEL:

KONVENTSJONSFORVIRRING

Ytelsefunksjon

$$f = f_M \quad (M = Moody)$$

brukes ofte

$$f \rightarrow 4f = 4f_F \quad (F = Fanning)$$

kalles

$h_f$ -uttrykket, da Fannings likning. Forbytting gir feil  
i forholdet 4:1!

Legg merke til at (8.6) kan skrives ("fullt" rør, cylindrisk)

$$h_f = z_0 \frac{L}{R_h \gamma} = \frac{z_0 2L}{r_0 \gamma}$$

Utledningen (kapitel 4) var for en generell strømningebunnt.  
Da har vi for vilkårlig radius (rettagonos et cetera!)

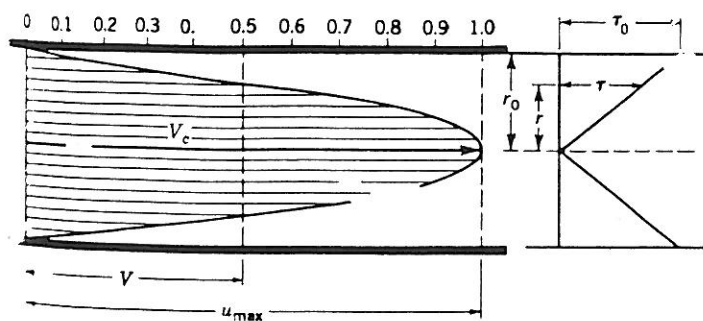
$$h_f = \frac{2L}{r\gamma}$$

Enten strømningen er laminær eller turbulent, øker altså skjøvspenningen linært med avstanden fra straksen:

$$\tau = \tau_0 \frac{r}{r_0}$$

OBS. Bare viskeskjevspenning?

Dette er spesielt tilgjelde for den laminære strømmingen vi tidligere har beskrevet.



Eliminer  $\phi(Re)$  mellom  $\bar{\tau}_0$ -uttrykket i 8.4 og  $f$ -uttrykket i 8.5:

$$\begin{cases} \bar{\tau}_0 = \beta V^2 \phi \\ f = 8\phi \end{cases}$$

$\Rightarrow$

$$\bar{\tau}_0 = \frac{f}{4} \beta g \frac{V^2}{z g}$$

(Man undres om konvensjonsjordningen  $f - f_1$  kan ha noe med dette uttrykket å gjøre?)

## 8.6 FRIKSJON I IKKE-SIRKULÆRE RØR OG FORINGER

(Dette avsnittet omhandler at man ofte estimerer

$$D \rightarrow 4R_h$$

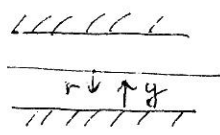
for å få forhåpentligvis brukbare uttrykk. Dersom roterende sirkulære rør ikke er sirkulært, må man nevne det og kalle det pensum, siden det er i vanlig bruk, men til eksamen i år kan man gjerne glemme det!)

## 8.7 LAMINÆR STRØM I SYLINDRISK RØR

Kombiner  $h_f = \frac{f 2L}{r} \text{ med } z = \mu \frac{du}{dy}, \quad y = r_0 - r$

og få :

$$du = - \frac{h_f \gamma}{2\mu L} r dr$$



Integrasjon, og bestem integrasjonskonstanten ved

$$r=0 \Rightarrow u = u_{max} = V_c$$

$$\Rightarrow u = u_{max} - \frac{h_f \gamma}{4\mu L} r^2 = V_c \left(1 - \frac{r^2}{r_0^2}\right)$$

fordi  $r=r_0 \Rightarrow u=0$ , og forandringen prop. med  $r^2$ !

Hvis hastighetsprofilen integreres over et tverrsnitt, kan middelhastigheten  $V$  finnes:

$$V = \frac{1}{2} u_{max} = \frac{1}{2} V_c \quad (\text{fra tidligere kapittel})$$

[Den videre framstillingen i bokhaugen på dette punktet er litt rotet, så det er vanskelig å beholde oversikten. Vi gir det litt annesteds her:]

$$2V = u_{max} = \frac{h_f \gamma r_0^2}{4\mu L} = \frac{h_f \gamma D^2}{16\mu L}$$

$$\Rightarrow h_f = \frac{32\mu L V}{\gamma g D^2} = 64 \left( \frac{\mu}{\gamma V D} \right) \frac{L}{D} \frac{V^2}{2g}$$

Gammelenkhet med Darcy-Weisbachs likning (avsnitt 8.5):

$$h_f = f \frac{L}{D} \frac{V^2}{2g}$$

Så har vi funnet at

$$f_{laminar} = \frac{64}{Re}$$

Dette kan brukes for

$$Re < 2000$$

Et av mellomtrinnene i utledninga kan skrives

$$h_f = 3.2 \times \frac{L}{gD^2} V \quad (\text{Hagen-Poiseuilles lov})$$

Poenget her er at  $h_f$  for laminar strøm  
går som firste potens av  $V$ . Men uttrykket  
er "minst ryddig" enn Darcy-Weisbachs lov med  
 $f_{\text{laminat}} = 64/Re$ .